

## ГЕОМЕТРИЧЕСКИЙ РЕЗОНАНС В ПРОМЕЖУТОЧНОМ СОСТОЯНИИ СВЕРХПРОВОДНИКОВ

О.П.Леденев

Рассматривается поглощение ультразвука (геометрический резонанс) в промежуточном состоянии при  $ka_N \gg 1$ . Получена модулированная по амплитуде осциллирующая зависимость поглощения как следствие андреевских отражений электронных возбуждений от границ нормальных и сверхпроводящих слоев. Можно показать, что эта зависимость объясняет эксперименты из [1; 2].

Интерес к изучению поглощения ультразвуковых волн (УВ) в промежуточном состоянии (ПС) основан на том обстоятельстве, что этот метод, по существу, является единственным, позволяющим получать экспериментальную информацию о структуре ПС, созданной внешним магнитным полем в глубине сверхпроводника первого рода. Основной вклад во взаимодействие с УВ в области температур  $T << T_K$  в ПС вносят электронные возбуждения нормальных слоев, отличительной особенностью которых, как это было впервые показано Андреевым [3], является своеобразный механизм отражения от границ со сверхпроводником. Основываясь на андреевских законах динамики электронных возбуждений в ПС, были теоретически исследованы несколько случаев прохождения УВ через ПС [4 – 9]. В [4] был обнаружен механизм поглощения, связанный с вибрацией межфазных границ, в последующем изученный и в области нитевидной структуры ПС [5]. В 1967 г. Андреевым было впервые предсказано явление осциллирующего поглощения УВ [6], расчет которого производился путем решения кинетического уравнения в компонентах фурье-разложения по обратной величине удвоенной толщины нормального слоя. При  $ka_N \sim 1$  и  $l,D > a_N$  была установлена периодичность поглощения в зависимости от  $a_N$ . Рассматривалось также влияние магнитного квантования на поглощение [7, 8], и особенности распространения УВ в случае их наклонного падения на структуру ПС [9].

Ниже в рамках простой модели (замкнутая поверхность Ферми с двумя точками поворота на экстремальном сечении) анализируется при

$T < T_K$  прохождение продольной УВ через ПС, полагая, что выполнена следующая цепочка неравенств  $l > D > a_N \gg \lambda$ , где  $l$  – длина свободного пробега электронных возбуждений,  $D$  – диаметр их орбиты в критическом магнитном поле  $H_K$ ,  $a_N$  – толщина слоя нормальной фазы,  $\lambda$  – длина волны УВ. УВ с волновым вектором  $k$  распространяется по-перек системы чередующихся нормальных и сверхпроводящих слоев в направлении оси  $X$ . Магнитное поле, равное в нормальном слое  $H_K$ , ориентировано вдоль оси  $Z$ . Граница раздела нормальной и сверхпроводящей фаз ( $NS$ -граница) лежит в плоскости  $YZ$ .

Кинетическое уравнение в поле деформации УВ  $u_{ik} = u_{ik,0} \exp(ikr - i\omega t)$  в нормальном слое можно записать в виде (см. [10, 11])

$$(ikv - i\omega + \nu) \psi + \partial\psi/\partial t_1 = \Lambda_{ik} \dot{u}_{ik}, \quad (1)$$

где  $\psi$  находится из  $f = f_0 - \frac{\partial f_0}{\partial \epsilon} \psi$  ( $f_0$  и  $f$  – равновесная и неравновесная функции распределения электронов), обозначения аналогичны [11]. В уравнении (1) ввиду малости скорости звука по сравнению с электронной скоростью  $v$  пренебрегаем временной производной от  $\psi$ , пропорциональной  $\omega$ . Решение в нормальном слое будем искать, как обычно, в виде

$$\psi(t_1) = \int_{-\infty}^{t_1} \Lambda_{ik}(t_2) \dot{u}_{ik}(t_2) \exp\left\{ \int_{t_1}^{t_2} (ikv(t_3) + \nu) dt_3 \right\} dt_2. \quad (2)$$

Отметим, что в системе координат, связанной с электронным возбуждением  $\dot{u}_{ik} \sim (kv - \omega)$  и, так как  $kv \gg \omega$ , то на  $NS$ -границе при изменении знака скорости  $v \rightarrow -v$  будем иметь  $\psi(v) + \psi(-v) = 0$ , что и требуется для удовлетворения андреевским граничным условиям.

С учетом  $k \perp H$  и периодичности в выбранной геометрии  $\Lambda_{ik} \dot{u}_{ik}$  по периоду обращения электронного возбуждения в магнитном поле, выражение для коэффициента поглощения, формально аналогичное выражению для нормального металла, можно записать в виде

$$\Gamma(X_{(1)}) = \frac{2}{(2\pi\hbar)^3} A \int \frac{\Omega}{\mu} \left\{ |\gamma_{(1)}|^2 + |\gamma_{(2)}|^2 + \gamma_{(1)}^* \gamma_{(2)} \sin\left(\int_{t_{(1)}}^{t_{(2)}} kv dt\right) \right\} dp_z, \quad (3)$$

где  $A$  – коэффициент, зависящий от свойств среды и частоты УВ [10, 11],  $\gamma_{(l)} = \Lambda_{ik(l)} \dot{u}_{ik(l)} / |kv'_{(l)}|^{1/2}$ , нижний индекс в скобках указывает в какой из двух точек поворота, в которых  $kv_{(1), (2)} = 0$ , должны быть взяты значения соответствующих величин. В ПС  $\Gamma(X_{(1)})$  оказывается зависящим от положения электронной орбиты на оси  $X$ , т.е. от координаты точки поворота  $X_{(1)}$ .

Разобьем интеграл под знаком синуса в выражении для осциллирующей части поглощения, на сумму интегралов, где в качестве пределов выберем последовательно зафиксированные времена столкновения возбуждения с  $NS$ -границами, т.е.  $\int_{t_{(1)}}^{t_{(2)}} \dots = \int_{t_{(1)}}^{t_1} \dots + \int_{t_1}^{t_2} \dots + \dots + \int_{t_n}^{t_{(2)}} \dots$ .

$$\int_{t_{(1)}}^{t_{(2)}} \dots = \int_{t_{(1)}}^{t_1} \dots + \int_{t_1}^{t_2} \dots + \dots + \int_{t_n}^{t_{(2)}} \dots .$$

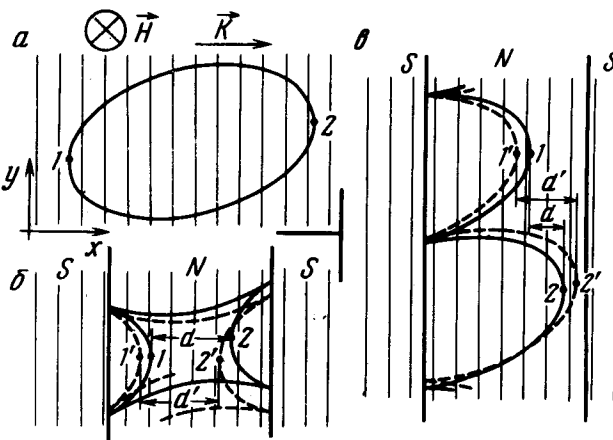


Рис.1. Траектория электрона в магнитном поле: *а* — нормальный металл, *б* — промежуточное состояние (два отражения между точками поворота 1 и 2; расстояние между 1 и 2 по оси *X* равно *d* и не зависит от положения точки 1), *в* — промежуточное состояние (одно отражение, *d* зависит от положения точки поворота 1,  $d \neq d'$ ). Тонкие вертикальные линии — плоскости равной фазы УВ

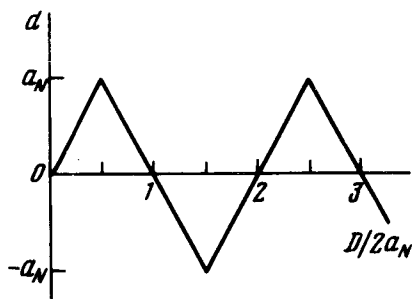


Рис.2. Зависимость расстояния *d* между точками поворота в направлении оси *X* при четном числе отражений от отношения  $D/2a_N$

Учитывая, что  $\int_{t(1)}^{t(2)} |\mathbf{kv}| dt = kD$ , вычислим весь интеграл, записывая его как  $\int_{t(1)}^{t(2)} \mathbf{kv} dt = kd$ , где *d* — некоторый эффективный диаметр траектории возбуждения, введенный по аналогии с нормальным металлом (рис.1). В случае четного числа отражений от *NS*-границ между точками поворота *d* есть

$$d = (-1)^l \{ (l + 1) 2a_N - D \}, \quad (4)$$

где  $l = \left[ \frac{D - a_N}{2a_N} \right]$ ,  $[...]$  — целая часть от выражения в скобках ( $[x] = -1$ , если  $-1 \leq x < 0$ ). График  $d = f\left(\frac{D}{2a_N}\right)$  приведен на рис.2. В случае нечетного числа отражений *d* будет кусочно линейной функцией от  $X_{(1)}$ , с пределами изменений от  $-a_N$  до  $a_N$ , явный вид которой в данном

случае не существуетен. Усреднение осциллирующей части поглощения  $\widetilde{\Gamma}(X_{(1)})$  при  $ka_N > 1$  по толщине слоя приводит к вычислению  $\langle \widetilde{\Gamma} \rangle = \int^a_N \widetilde{\Gamma}(X_{(1)}) dX_{(1)} / \int^a_N dX_{(1)}$ . Так как при заданных  $a_N$  и  $D$  число отражений есть функция от  $X_{(1)}$ , то интеграл в числителе разбивается на два – по орбитам с четным и нечетным числом отражений. При этом  $\widetilde{\Gamma}$ (четн.) не зависит от  $X_{(1)}$  и задача сводится к вычислению  $\int^a_N dX_{(1)}$  (четн.), который равен  $a_N - |d|$ .  $\widetilde{\Gamma}$ (нечет.) является быстроосциллирующей знакопеременной функцией от  $X_{(1)}$  и интеграл от нее стремится к нулю. Таким образом  $\langle \widetilde{\Gamma} \rangle$  оказывается модулированной функцией равной  $\frac{a_N - |d|}{a_N} \widetilde{\Gamma}$  (четн.). Выпишем выражение для  $|d|$ :

$$|d| = (-1)^n (D - \{m + \frac{1}{2}(1 - (-1)^n)\} 2a_N), \quad (5)$$

где  $m = [D/2a_N]$ ,  $n = [D/a_N]$ .

Осциллирующую часть поглощения в ПС получим в виде

$$\widetilde{\Gamma} \sim \Delta \widetilde{\Gamma}_{\text{норм.}}(H_K) \eta \frac{a_N - |d|}{a_N} \sin(kd \pm \frac{\pi}{4}), \quad (6)$$

где  $\Delta \widetilde{\Gamma}_{\text{норм.}}(H_K)$  – амплитуда осцилляций геометрического резонанса в нормальном металле в поле  $H_K$ ,  $\eta$  – концентрация нормальной фазы.

Из (6) видно, что число осцилляций поглощения в одном периоде модуляции равно удвоенной толщине нормального слоя  $2a_N$ , выраженной в единицах длины волны УВ  $\lambda$ , т.е.  $2a_N = n\lambda$ , где  $n$  – число осцилляций в одном периоде модуляции. В случае  $D \ll a_N$  результаты переходят

в выражение для нормального металла, т.е.  $d \rightarrow D$ ,  $\frac{a_N - |d|}{a_N} \rightarrow 1$  и в (6)

остается лишь концентрационная зависимость амплитуды осцилляций, которую можно использовать для оценки концентрации нормальной фазы в ПС.

Проведенное сравнение с экспериментальными результатами [1, 2] показывает, что (6) качественно описывает сложную периодичность наблюдавшихся зависимостей. Количественное сравнение с экспериментальным материалом предполагается провести в следующей публикацией. Здесь лишь укажем, что толщина слоя нормальной фазы в [1, 2] в оценке по формуле (6) изменяется от  $10^{-2}$  до  $10^{-3}$  см и зависит от внешнего магнитного поля.

Автор выражает свою признательность Б.Г.Лазареву и А.Г.Шепелеву за постановку задачи и поддержку в работе, А.Ф.Андрееву за полезное, доброжелательное обсуждение результатов, Г.Д.Филимонову и В.А.Шкловскому за интерес к работе.

## Литература

- [ 1 ] А.Г.Шепелев, О.П.Леденев, Г.Д.Филимонов. Письма в ЖЭТФ, 14, 428, 1971.
  - [ 2 ] А.Г.Шепелев, О.П.Леденев, Г.Д.Филимонов. Сб. "Вопросы атомной науки и техники", серия Фундаментальная и прикладная сверхпроводимость, выпуск 1, стр.3, Харьков, 1973 г.
  - [ 3 ] А.Ф.Андреев. ЖЭТФ, 46, 1823, 1964.
  - [ 4 ] А.Ф.Андреев, Ю.М.Брук. ЖЭТФ, 50, 1420, 1966.
  - [ 5 ] Ю.М.Брук. ФНТ, 2, 1130, 1976.
  - [ 6 ] А.Ф.Андреев. ЖЭТФ, 53, 680, 1967.
  - [ 7 ] В.П.Галайко, Е.В.Безуглый. ЖЭТФ, 60, 1471, 1971.
  - [ 8 ] Г.А.Гогадзе, И.О.Кулик. ЖЭТФ, 60, 1819, 1971.
  - [ 9 ] А.Г.Аронов, А.С.Иоселевич. ЖЭТФ, 74, 580, 1978.
  - [ 10 ] В.Л.Гуревич. ЖЭТФ, 37, 71, 1959,
  - [ 11 ] А.А.Абрикосов. Введение в теорию нормальных металлов, М., изд. Наука, 1972 г.
-